

Bipoláris technológia

• 1960-tól alkalmazott (TTL)

• logikai körzetesre; aktuális méret: $100\mu m$; rendkívül mélt: $10\mu m$

NPN tranzistor előállítása

- 1) eltemetett réteg kialakítása p-típusú hordozóban (rd-t csökkentve)
- 2) epitaxialis réteg kialakítása (kollektor)
- 3) szigetelő diffúzió (ellátomítja a különböző tranzisztorokat)
- 4) ablaknyitás és p diffúzió (bázis)
- 5) ablaknyitás és n+ diffúzió (emitter + kollektor vezetéke)
- 6) fémablak nyílás (E; C; B részei)
- 7) fémzés

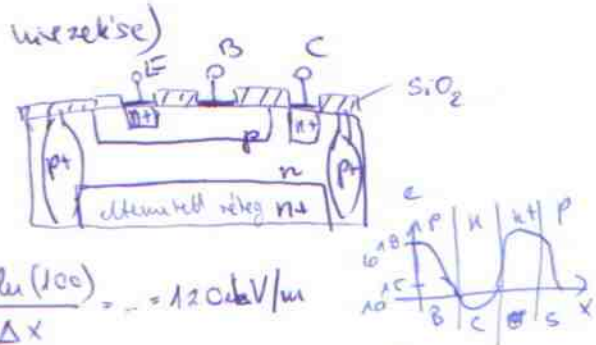
fellemezői:

• E erősen adaléktolt

• B kevésbé

• B-uknál van beípített HFE: $E = \frac{\Delta U}{\Delta X} = \frac{U_{T-B}(100)}{\Delta X} = 120 \text{ dBV/m}$

• n+ réteg rd csökkentésére; véde a pnn+p parazitatranzistor ellen



Láterális pnp tranzistor

előnye: az npn tranzisztortól szemben az E-B lejtőesi feszültsége nagy, akkorra, mint a B-C lejtősi feszültsége

hátrány:

• emitter nem erősen adaléktolt

• bázis homogén

• B áramérési tényező kicsi

• nagy rekombinációs centrum az oxidkör közeli kristályban miatt

Ventilális pnp tranzistor

- szubsztrát = kollektor
- E-B lejtőesi feszültsége nagyobb
- kevesebb tranzisztor károsítás
- kevesebb emitter károsítás
- ⇒ 1 szabadon 1 tranzisztor

Megújvárott ellenállás

$$R_s = \frac{1}{q_p \cdot \int_{x_{dc}}^{x_{bb}} N(x) dx} = 10k - 50k\Omega$$

• parazita JFET

Emitter ellenállás

- nis ellenállás
- általánosan használható
- jó nagyteljesítményű tranzisztorokkal párhuzamos bázisnál nyitópóz eltolása

- E-B dióda

- Epitaxialis réteg ellenállás

Bázis ellenállás

- csúnya bipoláris tranzisztor
- n+ réteg parazita pnp tranzisztor ellen véde
- $R = 100\Omega - 1k\Omega$

$$\bullet R = \frac{L}{W} \cdot R_D$$

MOS Technológia (Metal - Oxid Semiconductor)

- o nMOS; pMOS: kis teljesítmény, de van statikus általános fogasztás
- o CMOS: nagyobb teljesítmény, de kisebb fogasztás

Kibővítéses terhelésű inverter előállítása

- 1.) p szubsztrát + SiO_2 vékony tapadási réteg + Si_3N_4 réteg + fotoreziszt réteg 1. csap.
- 2.) fotoreziszt előállítás
- 3.) Si_3N_4 lemaradás
- 4.) maradvány fotoreziszt eltávolítás
- 5.) p+ diffúzió (csatorna stop) 2.
- 6.) oxidálás
- 7.) Si_3N_4 lemaradás
- 8.) n+ ionimplantáció 3.
- 9.) gate-oxid körültekercs
- 10.) poly-Si leválasztás 4.
- 11.) n+ diffúzió (Si:D) 5.
- 12.) CVD SiO_2 leválasztás 6.
- 13.) kontaktusablaknyitás 7.
- 14.) fémzárás 8.

CMOS inverter előállítás

- 1.) n szubsztrát + vékony SiO_2 tapadási réteg + fotoreziszt réteg
 - 2.) p++ implantáció 1.
 - 3.) oxidálás; p++ behajtás
 - 4.) oxid lemaradás
 - 5.) n+ implantáció 2.
 - 6.) fotoreziszt eltávolítás; Si_3N_4 felvitel
 - 7.) p+ diffúzió 3.
 - 8.) gate-oxid körültekercs
 - 9.) poly-Si leválasztás 4.
 - 10.) n+ implantáció 5.
 - 11.) alacsony hőmérsékletű oxidálás
 - 12.) oxid lemaradása
 - 13.) oxidálás
 - 14.) n+ implantáció 7. 6.
 - 15.) p+ implantáció 7.
- 16.) LTO
 - 17.) kontaktusablak nyitás 7.
 - 18.) 1. fémzárás 8.
 - 19.) vastagodó leválasztás + fotoreziszt
 - 20.) fotoreziszt lemaradása
 - 21.) SiO_2 véköréteg kialakítása
 - 22.) kontaktusablaknyitás 9.
 - 23.) fémzárás 10.

Advanced bipolar transistor

- bipolaris tranzistor kialakítás MOS technológiával
- laterális pnp + npn tranzisztorok
- laterális hibrid CMOS \Rightarrow BiCMOS
kis fogasztás + gyorsaság

Si wafer előállítása

Si kristály: laphomoges - köbös kristály



$a = 0,543 \text{ nm}$ (rácsállandó)

$a = 5,43 \text{ Å}$

Wafer-előállítás lépései:

előállítás-tisztítás

- 1) $\text{SO}_2 + 2\text{C} \Rightarrow \text{Si} + 2\text{CO}$
- 2) $\text{Si} + 3\text{HCl} \rightleftharpoons \text{SiHCl}_3 + \text{H}_2$
- 3) $\text{SiHCl}_3 + \text{H}_2 \rightleftharpoons \text{Si} + \text{SiHCl}_2$

1.) alapanyag (kvárc)

↓ desztilláció, redukció ($\text{Si}, \text{HCl}_3, \dots$)

2.) polikristályos szilicium (nem megfelelő tisztaságú)

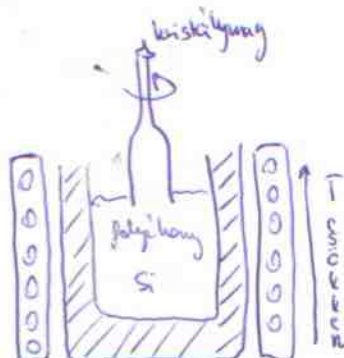
↓ kristálynevezetűk (Czochralski, Bridgeman, float-zone)

3.) egykristályos szilicium

↓ darabolás, csiszolás, polírozás

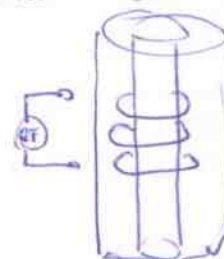
4.) wafer

Czochralski - eljárás



Hordozóval (floating zone) eljárás

- polikristályos ruhadat használ magja felüressel induktív módon megtároljuk
- a lassú kristályosodás egykristályt adhat ki
- tisztasára is használható



Szilicium-nid megmunkálása

- 1.) szélezés ; flat-ek kialakítása (szélezől hordoz információ)
- 2.) elcsiszolás → repedések, vágási nyomás eltávoítása
- 3.) köhezles
- 4.) csiszolás → szelét vékonyítása; mechanikai feszültségek felszabadítása
- 5.) polírozás

p, n típus; orientáció

(1)

Szilicium elektronos tulajdonságai, mérése

$$\rho_{\text{Si}} = 250.000 \frac{\Omega}{\text{cm}} \rightarrow \text{adaliholás} (\text{n}, \text{p})$$

↳ max. $10^{21} \frac{\text{db}}{\text{cm}^3}$

adaliholás hatására ρ értéke csökken!

- 1.) minta leír + méréshullám
- 2.) kristálytűk (0-30)
- 3.) ρ_{Si} mérés
- 4.) szelvártsgaig mérés
- 5.) SPV mérés
- 6.) PN teszter

Difúzió

↳ koncentráciogradiens hatására töntörő anyagától a koncentrációkülönbség hiányosságára vezethet (akkor is, ha nem akapnak)

↓
nagyobb koncentrációjú helyről a kisebb felé halad

Fogalmai:

- 1.) intrusticális: rácspontok között, rendszertlen módszerrel

- 2.) szubsztituciós: üres valamádban út meg az adalitához, amikor ugyanezt a részről valamádra

Ugrásos frekvenciája: $\nu = 4 \cdot 10^6 \cdot e^{-\frac{E_a}{kT}}$ - E_a : potenciális magasság
adalitáshoz elő használjuk.

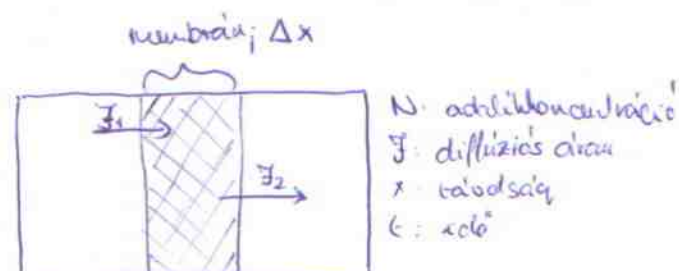
3.) komplex

Matematikai

$$D_0: \text{difúziós állandó}; D_0 = \frac{\mu \cdot z \cdot T}{q}$$

$$\text{Fick I.} \quad j = - D_0 \cdot \frac{\partial N(y; t)}{\partial x}$$

$$\text{Fick II.} \quad \frac{\partial N}{\partial t} = D_0 \cdot \frac{\partial^2 N}{\partial x^2}$$



III. difúziós állandó

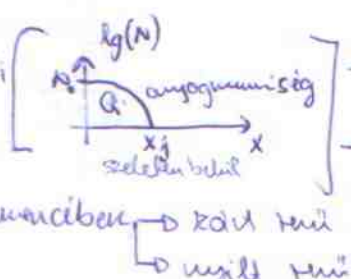
- difúzió sebességeit jelzi
- hőfűggő
- hőstabilitásban mentén nagyobb
- terzormentessége (gyémántárcsaban shalán)

$$D = D_0 \cdot e^{-\frac{E_a}{kT}}$$

(szubsztituciósban és intrusticálisban másik a konstans)

Difúzió a gyakorlatban

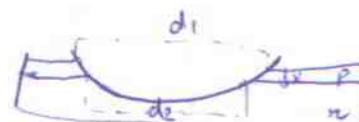
- 1) elődifúzió (\rightarrow): 900°C-i
- 2) behelytás (\leftarrow):



megvalósítás: difúziós hennáben → kárt nem

Difúziós reakció minősítése

- y_j minőségi görbülesi szabály



$$\frac{d_2^2 - d_1^2}{4 D} = y_j$$

- S_{\square} négyzetes ellenállás minőségi Attils minőséssel; $S_{\square} = \frac{\pi^2}{4 d^2} \cdot \frac{V}{I}$

- átlagos pajlagos ellenállás számítás az előző hétből $R = S_{\square} \cdot \frac{L}{W}$

- N_s sugárhatározása Irvin görbékkel (felületi koncentráció)

Fick-egyenletek megoldása

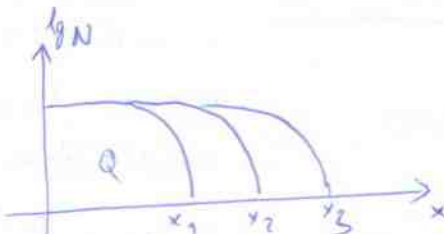
1) állando felületi koncentráció

Kez. pikk $N(x=0; t>0) = N_0$ = áll. / felületi koncentráció' állando' /
 $N(x>0; t>0) = \emptyset$ / kezdetben telítő mennyis adalikonyig)

$$N(x; t) = N_0 \cdot \operatorname{erfc} \left[\frac{x}{2\sqrt{Dt}} \right]$$

Difuziós források

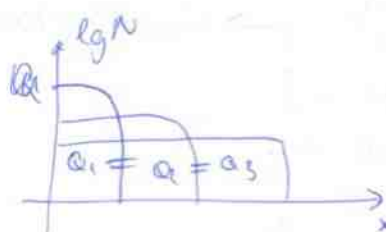
- 1) szilárd (szíroló)
- 2) folyékony (kloridok, bromidok)
- 3) gáz (halogének)



2) állando augasztációs ség

Kezelti felületi: ~~kezelti felület~~

$$\left. \begin{array}{l} Q = \text{áll.} \\ \frac{\partial N}{\partial x} \Big|_{x=0} = \emptyset \\ N(\infty, t) = \emptyset \end{array} \right\} \quad \begin{aligned} N(x, t) &= \frac{Q}{\sqrt{\pi Dt}} e^{-\frac{(x)}{2\sqrt{Dt}}}^2 \\ N(x_i, t) &= \frac{Q}{\sqrt{\pi Dt}} e^{-\frac{(x_i)}{2\sqrt{Dt}}}^2 \end{aligned}$$



Euler - összefüggés

$$\frac{D}{\mu} = \frac{kT}{q}$$

Fick-egyenletek

$$\text{I} \quad j = -D \cdot \frac{\partial N(x, t)}{\partial x}$$

$$\text{II} \quad \frac{\partial N(x, t)}{\partial t} = \frac{\partial^2 N(x, t)}{\partial x^2}$$

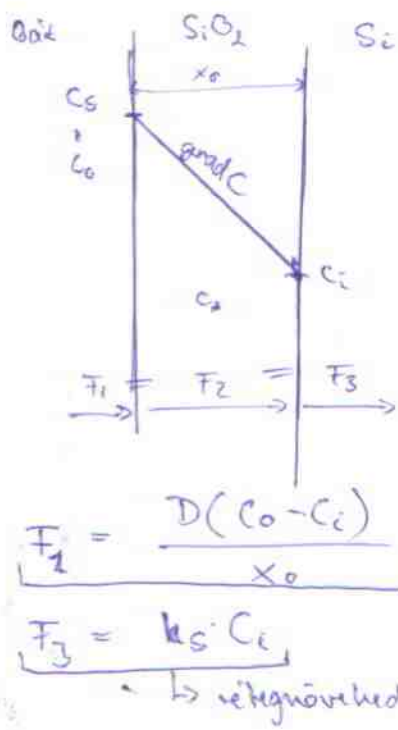
FJ: a fluxus a koncentráció gradientjával egyenlő

II: a koncentráció időbeli megváltozása arányos a koncentrációgradient megváltozásának sebességével

Oxidáció

Si/SiO_2 hadárfelület: szintén többéletes hadárfelület

↳ itt valósul meg az oxidáció [atadással SiO_2 retteg]



$$c_s(\text{surface}) = \frac{p_s}{kT} = H p_s$$

$c_* = H \cdot p_g$ (egysensíki koncentráció az oxidban)

$c_i \Rightarrow \text{Si/SiO}_2$ hadárfelületen lévő koncentráció

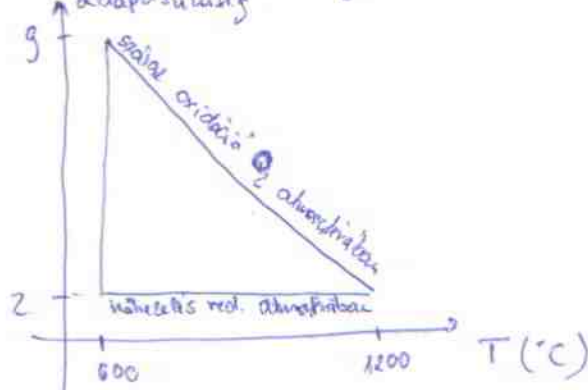
$$\Rightarrow F = h \cdot (c_* - c_0) = \frac{h}{kT} (p_g - p_s) = h \cdot (c_* - c_0)$$

c_0, c_i leírható

↳ vastag oxid: $x \sim \sqrt{t}$

vihány oxid: $x \sim t$

Oxidációs hármaság



$$F_1 = F_2 \rightarrow h(c_* - c_0) = \frac{D(c_0 - c_i)}{x_0}$$

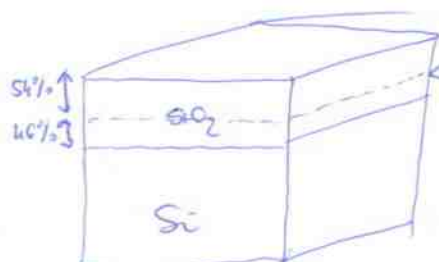
$$F_1 = F_3 \rightarrow h(c_* - c_0) = k_s \cdot c_i$$

↓

$$c_0 = \dots$$

$$c_i = \dots$$

Si/SiO_2 hadárfelület: kiályuk & hosszabb kötésű is működik



endeti Si felület (ez volt képelemeiből 60-60%)

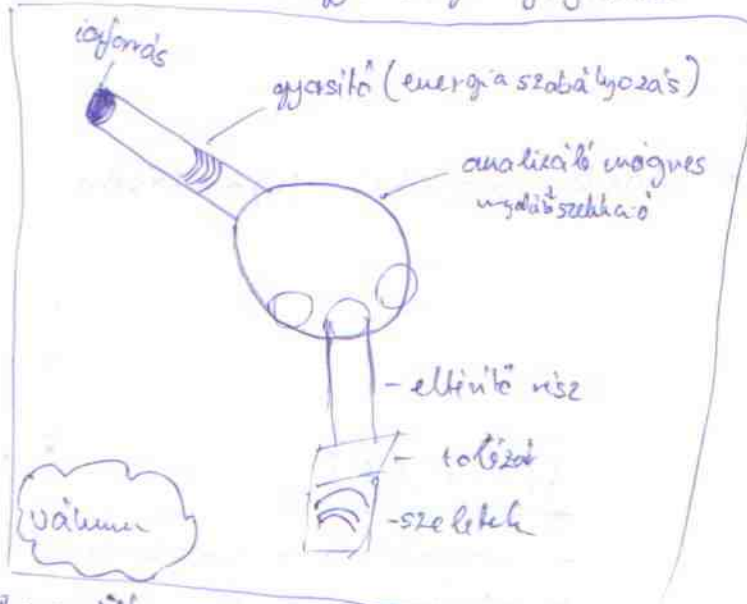
Oxidációhoz az orientáció is függ

SiO_2 működés: - plazma oxidáció
- CVD

- auszos oxidáció
- RTP

Ioniimplantáció

- adalik atomokat felgyorsított ionokként bontszékkel a fibrinrózis felszín hőzeli rétegeire
- rekonvaleszcenciát elősegítő módszer
- vákuum technológiája
- nem aggreszív jellegű



Tömegszeparátor

$$\frac{m \cdot v^2}{R} = q (\vec{v} \times \vec{B})$$

$$\frac{m \cdot v^2}{2} = q \cdot V$$

$$\frac{m}{q} = \frac{R^2 B^2}{2V} \text{ opossitó/sz}$$

Bocsátás

Felbontás során anyagot parabolikusan röcskölbe
Felbontás során:

- elektronfelbontás → (elektronfelből töltőszintekben, nagy energiájú, meghatározott)
- nukleáris felbontás → (magok hőhatás kárt, rugalmas, röcskölből abba)

↳ röcskölhető is lehet

1) összes belülről adalik

$$\frac{1}{A} \int_0^t J(t) dt = q \int_a^{x_i} N(x) dx$$

2) dörzs

$$\phi = \frac{J \cdot t}{q \cdot A} = \int_a^{\rho} N(x) dx$$

3) adalikhelosztás

$$N(x) = \frac{1}{\sqrt{\pi \Delta R_p}} \cdot e^{-\frac{1}{2} \left(\frac{x - R_p}{\Delta R_p} \right)^2} \text{ LSS elvilegben}$$

Csatornahalás

Lo eges csatornához előírunk működője jutnak

- elhelyítése:
- 1) pozicionalis (döntés, csavarás)
 - 2) végony oxid tövészetése
 - 3) kristály amorf pól. háló

Hőkezelés ($\approx 700 - 800^\circ\text{C}$)

alkalmazás az ionimplantációhoz kötődő rögzítéshez hajlításra

Ionimplantáció

ELŐNT

- partos
- nincs áldalirányú szívódás
- tömegszeparáció
- utólag is lehetséges
- merekkel nem kényelmesen kezhető
- aknaság nőmérsekkell
- tisztít a valamennyi matt
- nagyobb koncentráció lehetséges

HATRÁNÍ

- rangalódik a rögzítéshez
- elasztikus termelékenység
- olvág, szigolhat
- veszélyes üzemeltetés

Maratási technikák

SiO₂: - föl tapad

- visszaverő

- ellentáv a maratással szemben

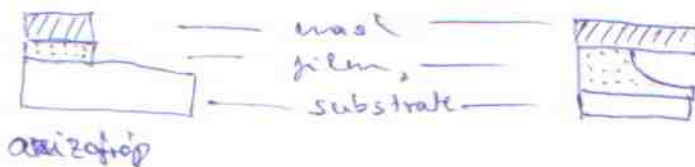
CVD: - hétfül gáz a szelét felülíten lép reakcióba

PVD: - hőelőparásztalás

- vákuum gázolás



Marási profilkép



Marási sebesség:

- p-n rétegek marási sebességi különbsége

- átmérőt helyen ellenőrzi a lipcő; különbsége finális niválásra

Diffrakciós módszerek

- normál FR technika (ahol mincs FR, ott maródik; selektív marással kell)

- inverz FR technika (ahol van FR, ott maródik; visszavágott látható)

- 1) réteglasztala's
- 2) részlet technológiá
- 3) részlet alkotási

felbontás határa: kristályminta

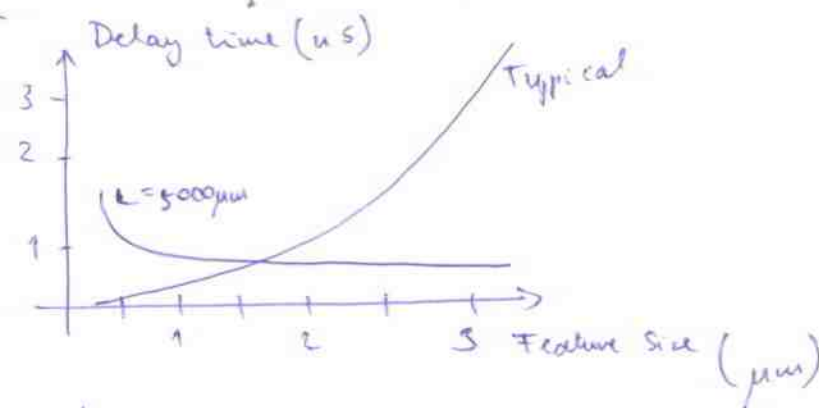
Fémzés - vezetőhálózat minősítése

- okmányos (ne húgyjön az áramiránytól)
- szövetszínű: fin - függőleges általános egyszerűsítés
- belső elemek összekötése
- kapcsolat a hálózathoz

Kialakítás lépései

- 1) ablakozási (szétszórás az alsó rétegekhez v. hordozóhoz)
- 2) réteg felvitel (PVD, CVD)
- 3) minősítendő kialakítás (fotoveszet, maradás, rétegeltárolás)
- a) hőkezelés

Kiszámítások



Parazita kapacitások

